

V.2 Saran

Adapun saran yang dapat penulis sampaikan sebagai bahan evaluasi untuk penelitian kedepannya adalah sebagai berikut.

1. Sebaiknya persamaan atenuasi yang digunakan dapat ditambah agar memiliki banyak perbandingan hasil spektra percepatan yang bisa dipertimbangkan.
2. Penelitian selanjutnya hendaknya menggunakan perbandingan data Vs hasil inversi eliptisitas gelombang Rayleigh yang didapatkan dari pengukuran mikrotremor dengan data log bor (misalnya CPT dan N-SPT) ataupun menggunakan metode geofisika lainnya (misalnya MASW), agar bisa disandingkan.

DAFTAR PUSTAKA

- Abrahamson N.A., Kamai R., Silva W.J., 2013. Nonlinear Horizontal Site Response for the NGA-West2 Project, Pacific Earthquake Engineering Research Center Headquarters, University of California, Berkeley.
- Adekristi A. 2013. Algorithm for Spectral Matching of Earthquake Ground Motions Using Wavelets and Broyden Updating. Virginia Polytechnic Institute and State University, Blacksburg, VA.
- Arfiadi Y., dan Satyarno I. 2013. Perbandingan Spektra Desain Beberapa Kota Besar di Indonesia dalam SNI Gempa 2012 dan SNI Gempa 2002. *Konferensi Nasional Teknik Sipil 7*. Pp 299-306.
- Arifin S.S., Mulyatno B.S., Marjiyono, dan Setianegara R. 2014. Penentuan Zona Rawan Guncangan Bencana Gempa Bumi Berdasarkan Analisis Nilai Amplifikasi HVSR Mikrotremor Dan Analisis Periode Dominan Daerah Liwa dan Sekitarnya. *Jurnal Geofisika Eksplorasi* 2(1). pp 30-40. <https://doi.org/http://dx.doi.org/10.23960/jge.v2i01.217>.
- Atashband S., dan Estafanizadeh M. 2012. Vibro-Probe Technique Evaluation in Soil Improvement against Liquefaction. 15 WCEE Lisboa 2012.
- Ayubi S.S.A., Karyanto, Haerudin N., Rasimeng S., dan Wibowo R.C. 2020. Zonasi Site Effect Dan Analisis Bahaya Penguatan Gempa Menggunakan Metode DSHA (Deterministic Seismic Hazard Analysis) Untuk Menentukan PGA (Peak Ground Acceleration) Di Kabupaten Sumba Barat Daya. *Indonesian Physical Review* 3(2). pp 38-53. <https://doi.org/10.29303/ipr.v3i2.44>.
- Badan Nasional Penanggulangan Bencana. 2018. Laporan Korban Gempa Kota Palu”
- Badan Standardisasi Nasional. 2019. SNI 1726:2019 Tata Cara Perencanaan Ketahanan Gempa Untuk Struktur Bangunan Gedung dan Nongedung.
- Boore D.M., Stewart J.P., Seyhan M.E.E., Atkinson G.M. 2014. NGA-West2 Equations for Predicting PGA, PGV, and 5% Damped PSA for Shallow Crustal Earthquakes. *Earthquake Spectra* 30(3). pp 1057 <http://dx.doi.org/10.1193/070113EQS184M>.
- Braile, L. 2004. Seismic Wave Demonstrations and Animations: Exploration in Earth Science. Seismic Wave Demonstrations and Animations. Purdue University. <http://web.ics.purdue.edu/~braile/edumod/waves/WaveDemo.htm>.
- Campbell K.W., dan Bozorgnia Y. 2014. NGA-West2 Ground Motion Model for

the Average Horizontal Components of PGA, PGV, and 5% Damped Linear Acceleration Response Spectra. *Earthquake Spectra* 30 (3). pp 1087–1114. <https://doi.org/10.1193/062913EQS175M>.

Chiou B.S.J., dan Youngs R.R. 2008. An NGA Model for the Average Horizontal Component of Peak Ground Motion and Response Spectra. *Earthquake Spectra* 24(1). pp 173-215. <https://doi.org/10.1193/1.2894832>.

Chiou B.S.J., dan Youngs R.R. 2014. Update of the Chiou and Youngs NGA Model for the Average Horizontal Component of Peak Ground Motion and Response Spectra. *Earthquake Spectra* 30(3). pp 1117 <https://doi.org/10.1193/072813EQS219M>.

Chopra, A.K. 1995. Dynamics of Structures Theory and Applications to Earthquake Engineering, Pearson. California.

Dindar, H., Dimililer, K., Ozdag, O. C., Atalar, C., Akgun, M., dan Ozyanki, A. 2017. Vulnerability Index Assessment Using Neural Networks (Viann): A Case Study Of Nicosia, Cyprus, *ISPRS Annals of the Photogrammetry, Remote Sensing and Spatial Information Sciences* 4(4). pp 189-195. [10.5194/isprs-annals-IV-4-W4-189-2017](https://doi.org/10.5194/isprs-annals-IV-4-W4-189-2017).

Haerudin N., Alami F., dan Rustadi. 2019. Mikroseismik, Mikrotremor Dan Microearthquake Dalam Ilmu Kebumihan. Pusaka Media, Bandar Lampung.

Hashash Y.M.A. 2020. Deepsoil V 7.0-User Manual, the University of Illinois at Urbana Champaign. Amerika Serikat.

Harnindra V.A., Sunardi B., Santosa B.J. 2017. Implikasi Sesar Kendeng Terhadap Bahaya Gempa dan Pemodelan Percepatan Tanah di Permukaan di Wilayah Surabaya. *Jurnal Sains dan Seni ITS* 6(2). pp 70-75. [10.12962/j23373520.v6i2.27603](https://doi.org/10.12962/j23373520.v6i2.27603).

Ipmawan, V. L., Permanasari I.N.P., dan Siregar R.N. 2019. Spatial Analysis of Seismic Hazard Based on Dynamical Characteristics of Soil in Kota Baru, South Lampung. *Journal of Science and Application Technology* 2 (1). pp 169–175. <https://doi.org/10.35472/281437>.

Ishihara K. 1996. Soil Behaviour in Earthquake Geotechnics. Clarendon Press Oxford University. Oxford New York.

Jamidun J., Rusydi M., Kirbani S.B., Subagio P., dan Suryanto W. 2019. Analisis Dan Model Inversi Gaya Berat 2D Untuk Penampakan Sesar Palu Koro Di Sulawesi Tengah Indonesia, *Natural Science: Journal of Science and Technology* 8(1). pp 77-86. <https://doi.org/10.22487/25411969.2019.v8.i1.12644>.

Jerez A.G., Seivane H., Navarro M., Segura M.M., dan Flores J.P. 2019. Joint

Analysis of Rayleigh-Wave Dispersion Curves and Diffuse-Field HVSR for Site Characterization: The Case of El Ejido Town (SE Spain), *Soil Dynamics and Earthquake Engineering*. 121. pp 102–120. <https://doi.org/https://doi.org/10.1016/j.soildyn.2019.02.023>.

Kearey, Philip, Brooks M., dan Hill I. 2002. An Introduction to Geophysical Exploration 3rd ed. Blackwell Science. Oxford.

Kramer, S. L. 1996. Geotechnical Earthquake Engineering. Prentice Hall. Amerika Serikat.

Kusumah A.W., Andiani A.S., Anjar, Omang A., Soehami A., Cipta A., Yuwana D.A., Firdaus E.R., Fadli, Djunursyah L., Hasibuan G., Afif H., Santosa I., Iqbal, Sulistyawan I.H., Falah K.N., Oktariadi O., Adiminarno P., Widyaningrum R., Efendi R., Rahdiana R.N., Glussyak S., Hidayati S., Sumaryono, Supartoyo, Setiawan T., Wirabuana T., Syatrin W., Wardoyo, Hermawan W., Wiyono, Sopyan Y, Yohandi, Yunara. 2018. Di Balik Pesona Palu Bencana Melanda Geologi Menata. Badan Geologi. Jakarta.

Layadi K., Semmane F., dan Chaouche A.Y. 2018. S-Wave Velocity Structure of Chlef City, Algeria, by Inversion of Rayleigh Wave Ellipticity. *Near Surface Geophysics* 16 (3). pp 328–339. <https://doi.org/10.3997/1873-0604.2018011>.

Mason H. B., Gallant A. P., Hutabarat D., Montgomery, J., Reed A. N., Wartman J., Irsyam M., Prakoso W., Djarwadi D., Harnanto D., Alatas I., Rahardjo P., Simatupang P., Kawanda, A., dan Hanifa R. 2019. Geotechnical Extreme Events Reconnaissance the 28 September 2018 M7.5 Palu-Donggala. Indonesia Earthquake. <https://doi.org/10.18118/G63376>.

Misriani M. 2017. Site Specific Response Analysis Kota Padang dari Input motion Conditional Mean Spectrum (CMS) Menggunakan Software NERA. *Jurnal Ilmiah Rekayasa Sipil* 14(2). pp 28-38. [10.30630/jirs.14.2.104](https://doi.org/10.30630/jirs.14.2.104).

Nakamura, Y. 2000. Clear Identification Of Fundamental Idea of Nakamura's Technique and Its Applications. Roc XII World Conf. Earthq. Eng. N. Z. 2656.

Nakamura, Y. 2008. On The H/V Spectrum. The 14th World Conference on Earthquake Engineering.

Partono W., Irsyam M., Prabandiyani S.R.W., dan Maarif S. 2015. Aplikasi Metode HVSR Pada Perhitungan Faktor Amplifikasi Tanah Di Kota Semarang. *Media Komunikasi Teknik Sipil* 19 (2): 25–34. <https://doi.org/10.14710/mkts.v19i2.8421>.

PUPR, Puslitbang. 2017. *Peta Sumber Dan Bahaya Gempa Indonesia Tahun 2017*.

Pusat penelitian dan Pengembangan Perumahan dan Permukiman Badan Penelitian dan Pengembangan Kementerian Pekerjaan Umum dan Perumahan Rakyat, Jakarta.

Republika.co.id. Kerusakan di Palu: Hotel Rata Tanah, Jembatan Ikon Roboh. Melalui <https://republika.co.id/berita/pftjlg382/kerusakan-di-palu-hotel-rata-tanah-jembatan-ikon-roboh> > (29/09/18) diakses pada (02/05/18) pukul 19.00 WITA.

Rusydi M., Rustan E., Sandra, dan Rahmawati. 2018. Earthquake Hazard Analysis Use Vs30 Data In Palu, *Journal of Physics: Conference Series* 979(1), pp 1-10. 10.1088/1742-6596/979/1/012054.

Salsabil, A. R., Hilyah, A., Purwanto, S., & Fajar, M. H. M. 2018. Zonasi Bahaya Kegempaan Akibat Patahan Aktif Di Wilayah Jawa Timur Dengan Pendekatan Deterministik Menggunakan Perhitungan Atenuasi Chiou-Youngs 2014 NGA. *Jurnal Geosaintek*, 4(3). pp 103–115. <https://doi.org/10.12962/j25023659.v4i3.4508>.

Seht M.I., dan Wohlenberg. J. 1999. Microtremor Measurement Used To Map Thickness Of Soft Sediment. *Bulletin of Seismological Society of America*, 89(1), pp 250-259. <https://doi.org/10.1785/BSSA0890010250>.

Sunardi, B., Naimah, S., Haryoko, U., Rohadi, S., Sulastri, Rasmid. 2018. Vs30 Mapping and Soil Classification in The Southern Part of Kulon Progo Using Rayleigh Wave Ellipticity Inversion. *JGISE*. 1(2), pp 58-64. <https://doi.org/10.22146/jgise.39780>.

Syahrudin, M.H., Aswad, S., Palullungan, E.F., Maria, dan Syamsuddin. 2014. Penentuan Profil Ketebalan Sedimen Lintasan Kota Makassar Dengan Mikrotremor. *Jurnal Fisika Unnes* 14(1), pp 17-25. <https://doi.org/10.15294/jf.v4i1.3861>.

Talumepa J.R., Manoppo F.J., Manaroinsong L.D.K. 2019. Respon Spektra pada Jembatan Ir. Soekarno Manado. *Jurnal Sipil Statik* 7(7), pp 777-786.

Thein, P.S., Pramumijoyo, Brotopuspito K.S., Kiyono, J., Wilopo W., Furukawa, A., dan Setianto A. 2014. Estimation of Seismic Ground Motion and Shaking Parameters Based On Microtremor Measurements at Palu City, Central Sulawesi Province, Indonesia. *International Journal of Geological and Environmental Engineering* 8(5), pp 308-319. doi.org/10.5281/zenodo.1092938.

Tsai C.C. 2019. Nonlinear Site Response Analysis-Introduction of DEEPSOIL, Department of Civil Engineering National Chung Hsing University, Taiwan.

Uniform Building Code.1997. International Conference of Building Officials. California.

Valeria, R., Rustadi, Zaenudin, A., & Sulaeman, C. 2019. Karakteristik Tanah di Daerah Cekungan Bandung Berdasarkan Kecepatan Gelombang Geser (V_s30) Dengan Metode MASW (Multichannel Analysis Of Surface Wave). *Jurnal Geofisika Eksplorasi*, 3(1), pp 57-70. <http://dx.doi.org/10.23960/jge.v3i1.1031>.

Wangsadinata W. 2006. Perencanaan Bangunan Tahan Gempa Berdasarkan SNI 1726:2002. Shortcourse HAKI 2006, Jakarta.

Wooddell, K. E. and N. A. Abrahamson. 2014. Classification of Mainshocks and Aftershocks in NGA-West2, *Earthquake Spectra* 30(3) 10.1193/070113EQS186M.

Lampiran 1. Logbook akuisisi data mikrotremor



BADAN METEOROLOGI, KLIMATOLOGI, DAN GEOFISIKA
STASIUN GEOFISIKA KELAS I PALU

Jl. Sumur Yuga No. 04 Balaroa Palu 94226 Sulawesi Tengah
 Telp. (0451) 460197,4753532 | Faks. (0451) 460197 | Email : stageof.palu@bmgk.go.id

LEMBAR CATATAN AKUISISI DATA MIKROTREMOR

Nama Kegiatan : Survey Mikrozonasi Untuk Perencanaan Bangunan Gedung Telkom Palu
 Penyelenggara : Stasiun Geofisika Kelas I Palu

Akuisisi Data		INFORMASI UMUM			
Tanggal	: 27/11/2021	ID Lokasi	: 01 (Jembatan)	Tipe GPS	: Garmin GPSMap64
Mulai	: 09.53 wita	Desa / Kelurahan	: Lela, ke.	Lintang	: -0,88498
Selesai	: 10.53 wita	Kecamatan	: Palu Barat	Bujur	: 119,85461
Durasi	: 60 menit	Kabupaten	:	Elevasi	: 3 meter

Data Waveform		Alat Ukur / Sensor	
Nama File	:	Tipe Sensor	: Seismograf Short Period TDS
Catatan	:	Frekuensi Sampling	: 100 Hz
Operator / Analis	:	Operator / Teknisi	:

KONDISI CUACA	
Angin <input type="checkbox"/> Tidak Ada <input checked="" type="checkbox"/> Lemah <input type="checkbox"/> Sedang <input type="checkbox"/> Kuat Nilai Pengukuran (Jika Ada) : km/jam Temperatur : 30°C Catatan :	Hujan <input checked="" type="checkbox"/> Tidak Ada <input type="checkbox"/> Ringan <input type="checkbox"/> Sedang <input type="checkbox"/> Lebat Nilai Pengukuran (Jika Ada) : cm/jam

LINGKUNGAN SEKITAR																																				
Kerapatan Bangunan <input type="checkbox"/> Tidak Ada <input checked="" type="checkbox"/> Tersebar <input type="checkbox"/> Padat	Catatan Sumber Bising (Noise)																																			
<table border="1"> <thead> <tr> <th>Transien</th> <th>Tidak ada</th> <th>beberapa</th> <th>sedang</th> <th>banyak</th> <th>Sangat padat</th> <th>Jarak (m)</th> </tr> </thead> <tbody> <tr> <td>Mobil / motor</td> <td><input type="checkbox"/></td> <td><input checked="" type="checkbox"/></td> <td><input type="checkbox"/></td> <td><input type="checkbox"/></td> <td><input type="checkbox"/></td> <td>40</td> </tr> <tr> <td>Truk</td> <td><input type="checkbox"/></td> <td><input type="checkbox"/></td> <td><input type="checkbox"/></td> <td><input type="checkbox"/></td> <td><input type="checkbox"/></td> <td>.....</td> </tr> <tr> <td>Pejalan Kaki</td> <td><input type="checkbox"/></td> <td><input checked="" type="checkbox"/></td> <td><input type="checkbox"/></td> <td><input type="checkbox"/></td> <td><input type="checkbox"/></td> <td>40</td> </tr> <tr> <td>Lainnya</td> <td><input type="checkbox"/></td> <td><input type="checkbox"/></td> <td><input type="checkbox"/></td> <td><input type="checkbox"/></td> <td><input type="checkbox"/></td> <td>.....</td> </tr> </tbody> </table>	Transien	Tidak ada	beberapa	sedang	banyak	Sangat padat	Jarak (m)	Mobil / motor	<input type="checkbox"/>	<input checked="" type="checkbox"/>	<input type="checkbox"/>	<input type="checkbox"/>	<input type="checkbox"/>	40	Truk	<input type="checkbox"/>	Pejalan Kaki	<input type="checkbox"/>	<input checked="" type="checkbox"/>	<input type="checkbox"/>	<input type="checkbox"/>	<input type="checkbox"/>	40	Lainnya	<input type="checkbox"/>	Tipe Tanah <input type="checkbox"/> Tanah Lunak <input type="checkbox"/> Tanah Keras <input type="checkbox"/> Kerikil <input checked="" type="checkbox"/> Pasir <input type="checkbox"/> Batuan <input type="checkbox"/> Rumput <input type="checkbox"/> Aspal <input type="checkbox"/> Beton <input type="checkbox"/> Paving Pemasangan Alas dibawah Sensor <input type="checkbox"/> Tidak <input type="checkbox"/> Ya / Tipe :								
Transien	Tidak ada	beberapa	sedang	banyak	Sangat padat	Jarak (m)																														
Mobil / motor	<input type="checkbox"/>	<input checked="" type="checkbox"/>	<input type="checkbox"/>	<input type="checkbox"/>	<input type="checkbox"/>	40																														
Truk	<input type="checkbox"/>	<input type="checkbox"/>	<input type="checkbox"/>	<input type="checkbox"/>	<input type="checkbox"/>																														
Pejalan Kaki	<input type="checkbox"/>	<input checked="" type="checkbox"/>	<input type="checkbox"/>	<input type="checkbox"/>	<input type="checkbox"/>	40																														
Lainnya	<input type="checkbox"/>	<input type="checkbox"/>	<input type="checkbox"/>	<input type="checkbox"/>	<input type="checkbox"/>																														





BADAN METEOROLOGI, KLIMATOLOGI, DAN GEOFISIKA
STASIUN GEOFISIKA KELAS I PALU

Jl. Sumur Yuga No. 04 Balaroa Palu 94226 Sulawesi Tengah
Telp. (0451) 460197, 4753532 | Faks. (0451) 460197 | Email : stageof.palu@bmgk.go.id

LEMBAR CATATAN AKUISISI DATA MIKROTREMOR

Nama Kegiatan : Survey Mikrozonasi Untuk Perencanaan Bangunan Gedung Telkom Palu
Penyelenggara : Stasiun Geofisika Kelas I Palu

INFORMASI UMUM

Akuisisi Data		Lokasi			
Tanggal	: 27/11/2021	ID Lokasi	: 02 Jemberan	Type GPS	: Garmin GPSMap64
Mulai	: 13.06	Desa / Kelurahan	: Bawang Bunt	Lintang	: -0,88600°
Selesai	: 14.06	Kecamatan	: Palu Timur	Bujur	: 119,86090°
Durasi	: 60 menit	Kabupaten	:	Elevasi	: 7 meter

Data Waveform		Alat Ukur / Sensor	
Nama File	:	Type Sensor	: Seismograf Short Period TDS
Catatan	:	Frekuensi Sampling	: 100 Hz
Operator / Analis	:	Operator / Teknisi	:

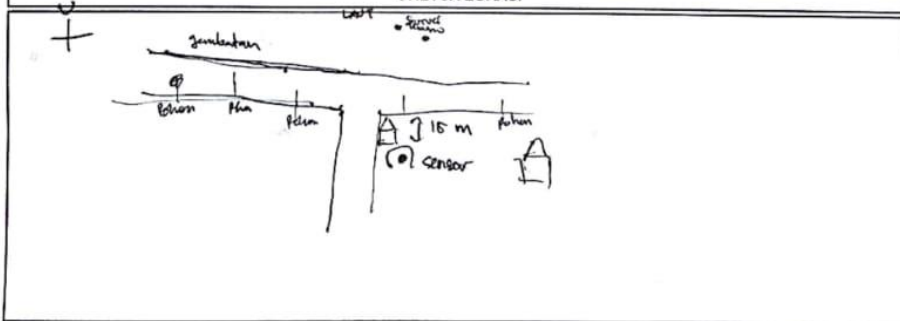
KONDISI CUACA

Angin		Hujan	
<input type="checkbox"/> Tidak Ada		<input checked="" type="checkbox"/> Tidak Ada	
<input checked="" type="checkbox"/> Lemah	<input checked="" type="checkbox"/> Sedang	<input type="checkbox"/> Ringan	<input type="checkbox"/> Sedang
<input type="checkbox"/> Kuat		<input type="checkbox"/> Lebat	
Nilai Pengukuran (Jika Ada)	: km/jam	Nilai Pengukuran (Jika Ada)	: cm/jam
Temperatur	: 29 °C	Catatan	:

LINGKUNGAN SEKITAR

Kerapatan Bangunan		Catatan Sumber Bising (Noise)	
<input type="checkbox"/> Tidak Ada	<input checked="" type="checkbox"/> Tersebar		
<input type="checkbox"/> Padat			
Transien	Tidak ada beberapa sedang banyak Sangat padat	Jarak (m)	
Mobil / motor	<input type="checkbox"/> <input checked="" type="checkbox"/> <input checked="" type="checkbox"/> <input type="checkbox"/> <input type="checkbox"/>	10	
Truk	<input type="checkbox"/> <input checked="" type="checkbox"/> <input checked="" type="checkbox"/> <input type="checkbox"/> <input type="checkbox"/>	10	
Pejalan Kaki	<input type="checkbox"/> <input checked="" type="checkbox"/> <input type="checkbox"/> <input type="checkbox"/> <input type="checkbox"/>	10	
Lainnya	<input type="checkbox"/> <input type="checkbox"/> <input type="checkbox"/> <input type="checkbox"/> <input type="checkbox"/>		
		Type Tanah	
		<input type="checkbox"/> Tanah Lunak	<input type="checkbox"/> Tanah Keras
		<input checked="" type="checkbox"/> Pasir	<input type="checkbox"/> Batuan
		<input type="checkbox"/> Aspal	<input type="checkbox"/> Beton
		<input type="checkbox"/> Kerikil	<input type="checkbox"/> Rumput
		<input type="checkbox"/> Paving	
		Pemasangan Alas dibawah Sensor	
		<input type="checkbox"/> Tidak	<input type="checkbox"/> Ya / Tipe :

SKETSA LOKASI





BADAN METEOROLOGI, KLIMATOLOGI, DAN GEOFISIKA STASIUN GEOFISIKA KELAS I PALU

Jl. Sumur Yuga No. 04 Balaroa Palu 94226 Sulawesi Tengah
Telp. (0451) 460197, 4753532 | Faks. (0451) 460197 | Email : stageof.palu@bmkg.go.id

LEMBAR CATATAN AKUISISI DATA MIKROTREMOR

Nama Kegiatan : Survey Mikrozonasi Untuk Perencanaan Bangunan Gedung Telkom Palu
Penyelenggara : Stasiun Geofisika Kelas I Palu

INFORMASI UMUM

Akuisisi Data		Lokasi			
Tanggal	: 27/0 /2021	ID Lokasi	: 03 Hotel Agung	Tipe GPS	: Garmin GPSMap64
Mulai	: 14.26	Desa / Kelurahan	: Perusa Barat	Lintang	: -09.40°
Selesai	: 15.26	Kecamatan	: Palu Timur	Bujur	: 119.093
Durasi	: 60 menit	Kabupaten	:	Elevasi	: 3 meter

Data Waveform		Alat Ukur / Sensor	
Nama File	:	Tipe Sensor	: Seismograf Short Period TDS
Catatan	:	Frekuensi Sampling	: 100 Hz
Operator / Analis	:	Operator / Teknisi	:

KONDISI CUACA

Angin		Hujan	
<input type="checkbox"/> Tidak Ada		<input checked="" type="checkbox"/> Tidak Ada	
<input checked="" type="checkbox"/> Lemah	<input type="checkbox"/> Sedang <input type="checkbox"/> Kuat	<input type="checkbox"/> Ringan	<input type="checkbox"/> Sedang <input type="checkbox"/> Lebat
Nilai Pengukuran (Jika Ada)	: km/jam	Nilai Pengukuran (Jika Ada)	: cm/jam
Temperatur	: 28°C	Catatan	:

LINGKUNGAN SEKITAR

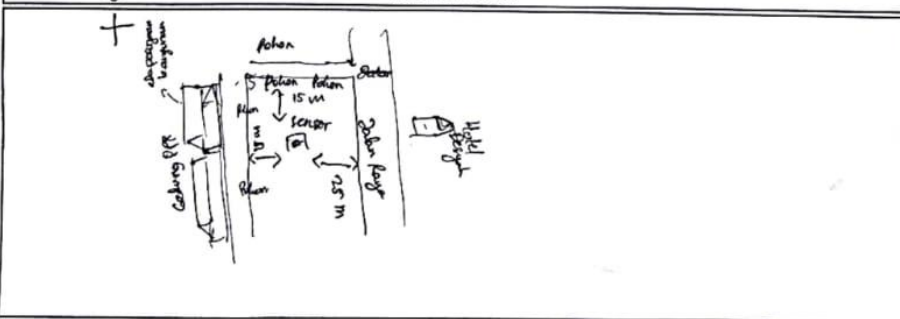
Kerapatan Bangunan		Catatan Sumber Bising (Noise)	
<input type="checkbox"/> Tidak Ada	<input type="checkbox"/> Tersebar <input checked="" type="checkbox"/> Padat		

Transien	Tidak ada	beberapa	sedang	banyak	Sangat padat	Jarak (m)
Mobil	<input type="checkbox"/>	<input checked="" type="checkbox"/>	<input type="checkbox"/>	<input type="checkbox"/>	<input type="checkbox"/>	20
Truk	<input type="checkbox"/>	<input checked="" type="checkbox"/>	<input type="checkbox"/>	<input type="checkbox"/>	<input type="checkbox"/>	20
Pejalan Kaki	<input type="checkbox"/>	<input checked="" type="checkbox"/>	<input type="checkbox"/>	<input type="checkbox"/>	<input type="checkbox"/>	25
Lainnya	<input type="checkbox"/>	<input type="checkbox"/>	<input type="checkbox"/>	<input type="checkbox"/>	<input type="checkbox"/>	

Tipe Tanah		
<input checked="" type="checkbox"/> Tanah Lunak	<input type="checkbox"/> Tanah Keras	<input type="checkbox"/> Kerikil
<input type="checkbox"/> Pasir	<input type="checkbox"/> Batuan	<input checked="" type="checkbox"/> Rumput
<input type="checkbox"/> Aspal	<input type="checkbox"/> Beton	<input type="checkbox"/> Paving

Pemasangan Alas dibawah Sensor	
<input type="checkbox"/> Tidak	<input type="checkbox"/> Ya / Tipe :

SKETSA LOKASI





BADAN METEOROLOGI, KLIMATOLOGI, DAN GEOFISIKA STASIUN GEOFISIKA KELAS I PALU

Jl. Sumur Yuga No. 04 Balaroa Palu 94226 Sulawesi Tengah
Telp. (0451) 460197, 4753532 | Faks. (0451) 460197 | Email : stageof.palu@bmgk.go.id

LEMBAR CATATAN AKUISISI DATA MIKROTREMOR

Nama Kegiatan : Survey Mikrozonasi Untuk Perencanaan Bangunan Gedung Telkom Palu
Penyelenggara : Stasiun Geofisika Kelas I Palu

INFORMASI UMUM

Akuisisi Data		Lokasi			
Tanggal	: 27/11/2021	ID Lokasi	: 04	Tipe GPS	: Garmin GPSMap64
Mulai	: 5.45.50	Desa / Kelurahan	: Lolo adatan	Lintang	: -0,90241°
Selesai	: 6.45.50	Kecamatan	: Palu selatan	Bujur	: 119,86931°
Durasi	: 60 menit	Kabupaten	:	Elevasi	: 3 meter

Data Waveform

Nama File :
Catatan :
Operator / Analis :

Alat Ukur / Sensor

Tipe Sensor : Seismograf Short Period TDS
Frekuensi Sampling : 100 Hz
Operator / Teknisi :

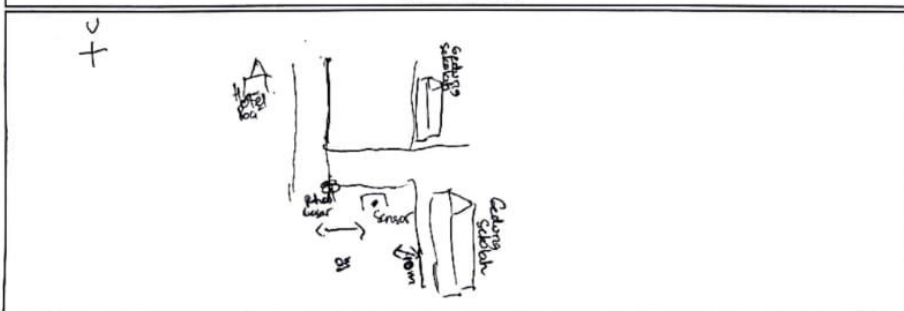
KONDISI CUACA

Angin		Hujan	
<input type="checkbox"/> Tidak Ada	<input checked="" type="checkbox"/> Lemah <input type="checkbox"/> Sedang <input type="checkbox"/> Kuat	<input checked="" type="checkbox"/> Tidak Ada	<input type="checkbox"/> Ringan <input type="checkbox"/> Sedang <input type="checkbox"/> Lebat
Nilai Pengukuran (Jika Ada) :	km/jam	Nilai Pengukuran (Jika Ada) :	cm/jam
Temperatur	: 28° C	Catatan	:

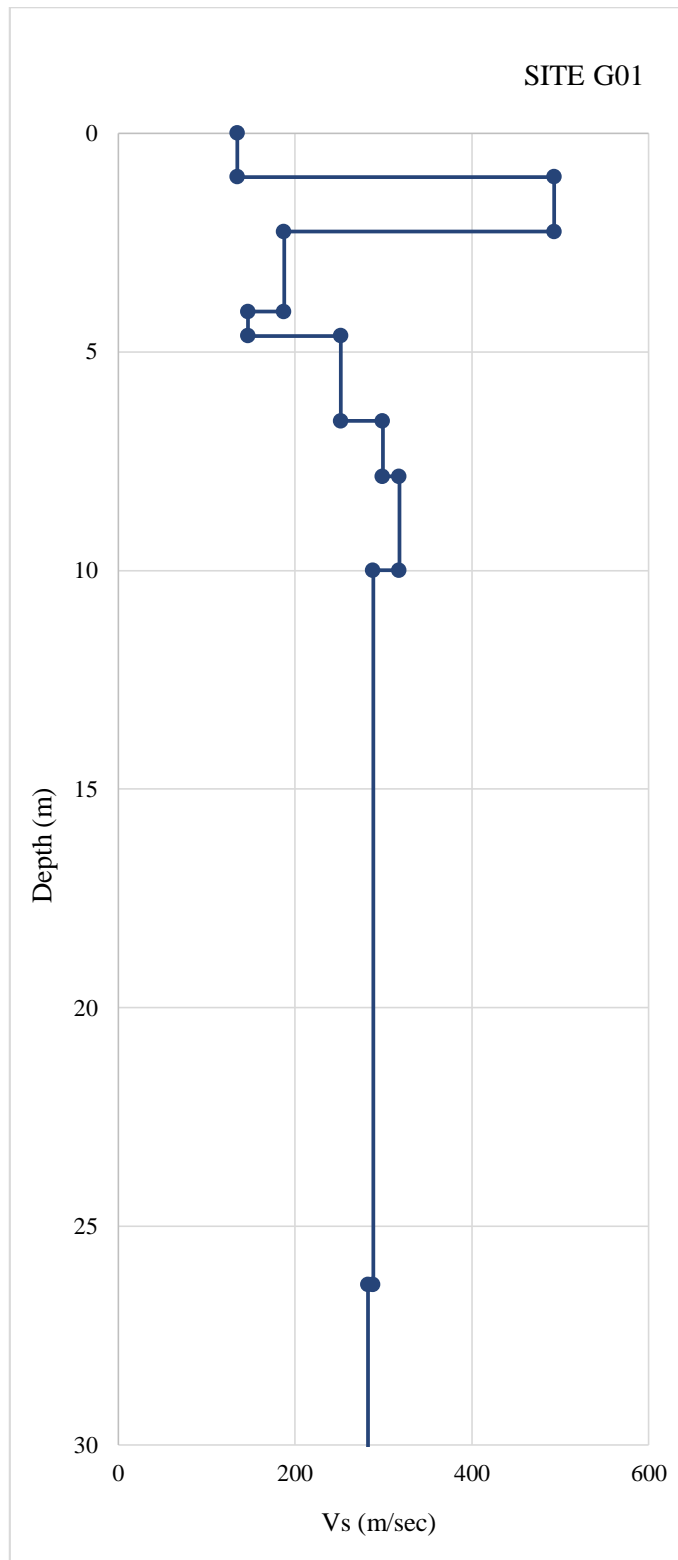
LINGKUNGAN SEKITAR

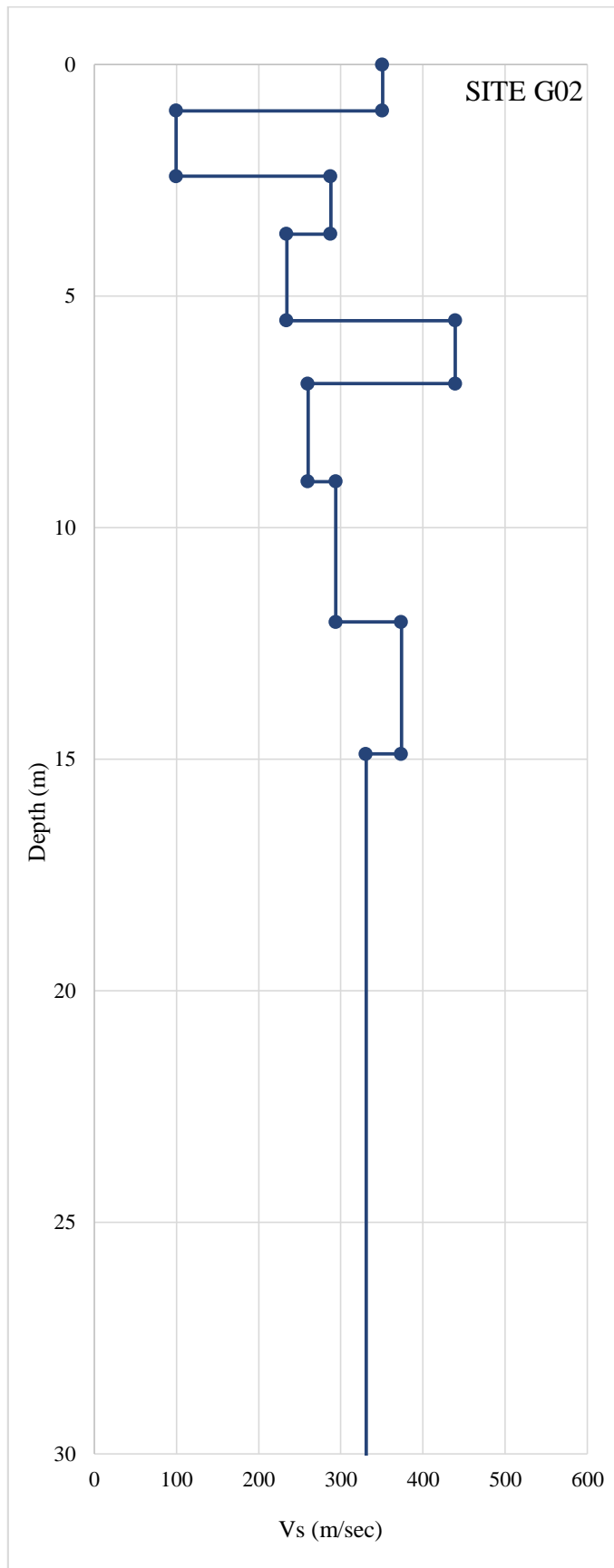
Kerapatan Bangunan		Catatan Sumber Bising (Noise)	
<input type="checkbox"/> Tidak Ada <input type="checkbox"/> Tersebar <input checked="" type="checkbox"/> Padat			
Transien	Tidak ada beberapa sedang banyak Sangat padat	Jarak (m)	
Mobil	<input type="checkbox"/> <input checked="" type="checkbox"/> <input type="checkbox"/> <input type="checkbox"/> <input type="checkbox"/>	10	
Truk	<input type="checkbox"/> <input checked="" type="checkbox"/> <input type="checkbox"/> <input type="checkbox"/> <input type="checkbox"/>	10	
Pejalan Kaki	<input type="checkbox"/> <input checked="" type="checkbox"/> <input type="checkbox"/> <input type="checkbox"/> <input type="checkbox"/>	10	
Lainnya	<input type="checkbox"/> <input type="checkbox"/> <input type="checkbox"/> <input type="checkbox"/> <input type="checkbox"/>		
Tipe Tanah			
<input type="checkbox"/> Tanah Lunak <input type="checkbox"/> Tanah Keras <input type="checkbox"/> Kerikil	<input type="checkbox"/> Pasir <input type="checkbox"/> Batuan <input type="checkbox"/> Rumput		
<input type="checkbox"/> Aspal <input type="checkbox"/> Beton <input checked="" type="checkbox"/> Paving	Pemasangan Alas dibawah Sensor		
<input type="checkbox"/> Tidak <input type="checkbox"/> Ya / Tipe :			

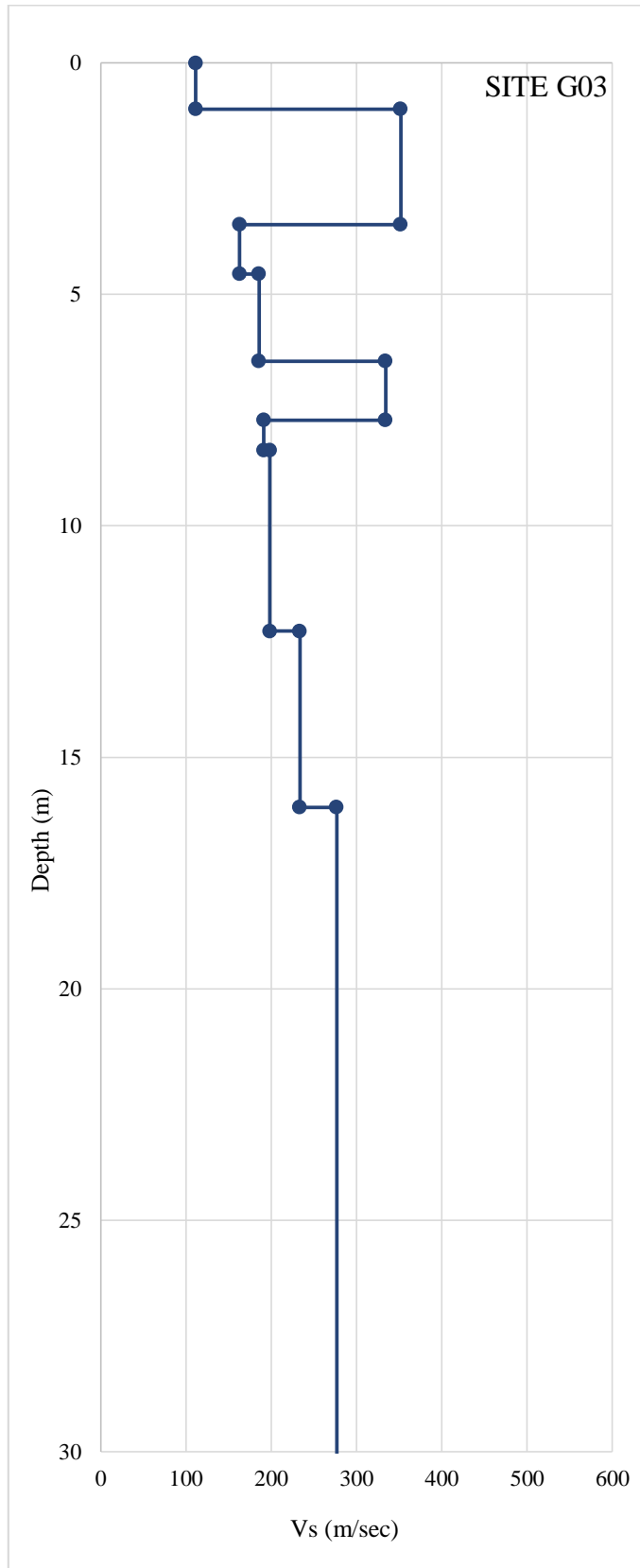
SKETSA LOKASI

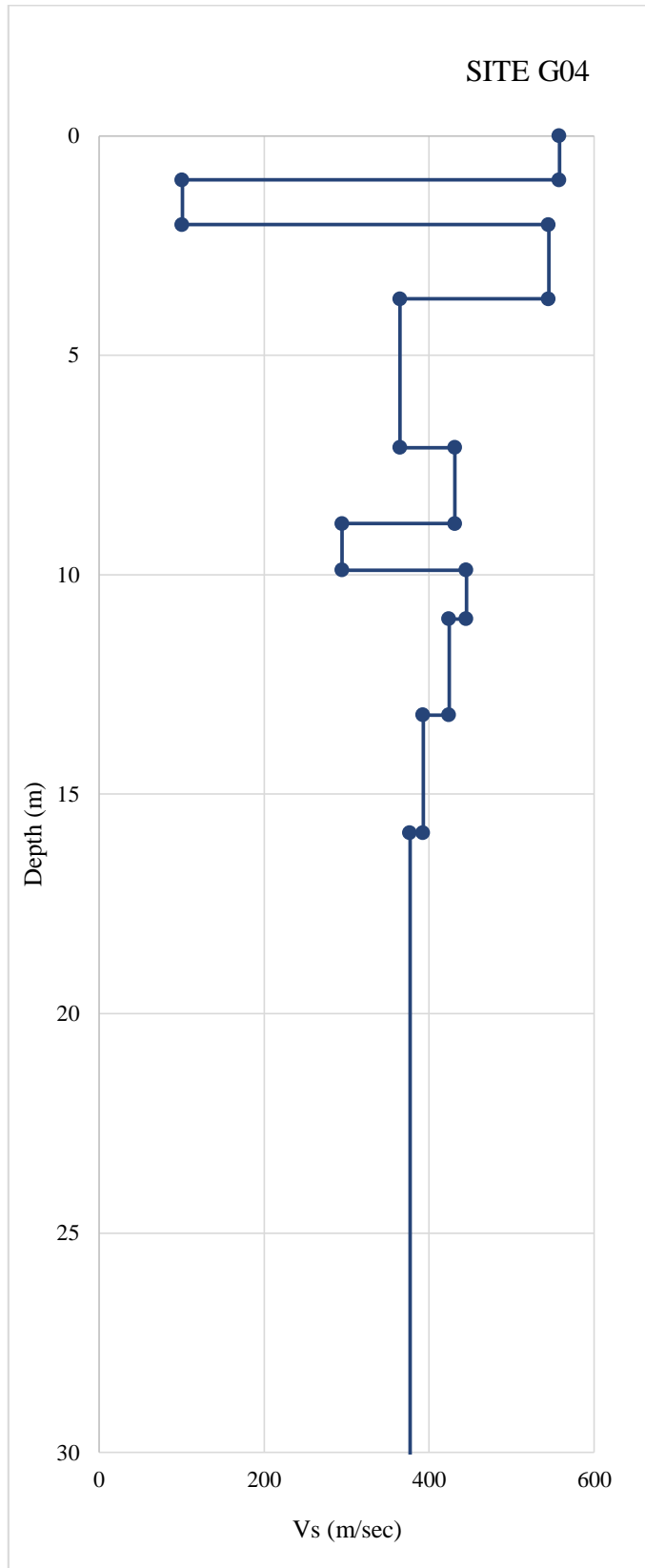


Lampiran 2. Detail profil Vs pada masing-masing *site* pada kedalaman 0-30 meter









Lampiran 3. Data Time History Masing-Masing Site

Periode (Sec)	Time History Nonlinear G01 (g)															Average (g)	perc. Batuan dasar (g)	
	Chi01	Chi03	Chi04	Honsu 01	Honsu03	Honsu05	Kobe01	Kobe 03	Kobe 05	Kumamoto01	Kumamoto02	Kumamoto03	Miyagi02	Miyagi04	Miyagi05		0.01	0.50505
0.01	0.0948	0.0948	0.106	0.10276	0.1095	0.1098	0.09933	0.09633	0.10188	0.08408516	0.08907278	0.10116714	0.11484	0.10045	0.09503	0.1	0.02	0.51941
0.02	0.0945	0.0946	0.105	0.10301	0.11	0.11	0.09992	0.09654	0.10192	0.08415341	0.08935371	0.10108245	0.1154	0.10058	0.095168	0.1001	0.03	0.57764
0.03	0.0944	0.0949	0.105	0.10338	0.1097	0.1101	0.10034	0.0965	0.10204	0.08436195	0.08947822	0.10162719	0.11587	0.1011	0.095349	0.1003	0.05	0.72466
0.05	0.0952	0.0973	0.107	0.10514	0.1107	0.1109	0.10113	0.09945	0.10266	0.08440148	0.08966956	0.10467159	0.1167	0.10195	0.097048	0.1016	0.075	0.9021
0.07	0.0967	0.1007	0.116	0.10995	0.1153	0.118	0.10505	0.10213	0.10509	0.08703651	0.09144264	0.10449675	0.12034	0.10991	0.103104	0.1057	0.1	1.01321
0.1	0.1078	0.1069	0.109	0.12673	0.1258	0.1141	0.11044	0.10888	0.113	0.09572143	0.10150222	0.11662966	0.12557	0.1285	0.105248	0.113	0.15	1.15781
0.2	0.1817	0.1599	0.14	0.1433	0.1491	0.1869	0.141	0.13075	0.15324	0.14286595	0.09554267	0.15894854	0.15937	0.16749	0.141086	0.1501	0.2	1.15591
0.3	0.1051	0.1061	0.115	0.10994	0.1258	0.1206	0.11051	0.10159	0.10903	0.08776481	0.09646199	0.10785083	0.1217	0.10235	0.09879	0.1079	0.25	1.09069
0.5	0.0899	0.101	0.106	0.11047	0.1206	0.1162	0.11111	0.09203	0.10773	0.08794089	0.08531461	0.11059108	0.11693	0.1019	0.100277	0.1039	0.3	1.01318
0.7	0.1258	0.1299	0.138	0.12396	0.1167	0.1285	0.12532	0.11825	0.13758	0.11185091	0.09050426	0.13183069	0.13836	0.12999	0.135261	0.1255	0.4	0.86369
1	0.2302	0.2044	0.227	0.2497	0.2511	0.2424	0.2554	0.26656	0.24322	0.17321047	0.14443767	0.30272512	0.21323	0.20316	0.314708	0.2347	0.5	0.74796
2	0.1921	0.28	0.294	0.25988	0.2901	0.3147	0.25494	0.23396	0.23829	0.21844946	0.22300366	0.23576676	0.29754	0.27771	0.268346	0.2586	0.75	0.55307
3	0.2272	0.2166	0.22	0.24458	0.2677	0.2065	0.23695	0.21653	0.2457	0.19862579	0.18840057	0.18786103	0.26318	0.23377	0.224247	0.2252	1	0.43594
5	0.1443	0.1927	0.174	0.21292	0.1829	0.1881	0.17179	0.20179	0.14216	0.14140852	0.07321034	0.11740109	0.21318	0.18888	0.169527	0.1676	1.5	0.29082
7	0.0545	0.0572	0.125	0.06059	0.0584	0.062	0.06208	0.06255	0.04955	0.05110944	0.03403008	0.04387421	0.08077	0.06337	0.051548	0.0611	2	0.21168
PGA	0.0944	0.0946	0.105	0.10272	0.1094	0.1096	0.09926	0.0962	0.10188	0.08405111	0.08903374	0.10104031	0.11473	0.10032	0.094914	0.0998	3	0.14109
																	4	0.10213
																	5	0.07869
																	7.5	0.04246
																	10	0.02677

Periode (Sec)	Time History Ekuivalen Linear G01 (g)															Average (g)
	Chi01	Chi03	Chi04	Honsu 01	Honsu 03	Honsu 05	Kobe01	Kobe 03	Kobe 05	Kumamoto01	Kumamoto02	Kumamoto03	Miyagi02	Miyagi04	Miyagi05	
0.01	0.477971	0.30687	0.218323	0.26984	0.23759	0.284599	0.2391	0.3280519	0.3389328	0.287193488	0.26148373	0.22313769	0.321734	0.2719	0.3378	0.293635
0.02	0.490669	0.307	0.218463	0.27003	0.23772	0.28474	0.23922	0.3283032	0.3390693	0.287383447	0.261663214	0.22323241	0.321927	0.27201	0.33803	0.29463
0.03	0.529738	0.30718	0.218638	0.27031	0.23791	0.284937	0.23936	0.328649	0.3394106	0.287643948	0.261922808	0.22336394	0.322211	0.27217	0.33841	0.297456
0.05	0.578066	0.30784	0.219265	0.27126	0.23847	0.285599	0.23977	0.3297186	0.3401159	0.288504057	0.262725267	0.22377892	0.323169	0.27271	0.33964	0.301376
0.07	0.717251	0.30907	0.220403	0.27347	0.23951	0.287088	0.24069	0.3318009	0.3416715	0.29003657	0.264211184	0.22459408	0.324814	0.27372	0.34168	0.312
0.1	0.803094	0.31206	0.223203	0.27777	0.24198	0.289546	0.24281	0.3367929	0.3452119	0.293150815	0.267557541	0.22610208	0.328841	0.27569	0.34688	0.320713
0.2	0.949067	0.32407	0.260671	0.29572	0.26081	0.283246	0.2625	0.3555873	0.3925553	0.314710734	0.295988518	0.26595882	0.355637	0.29275	0.3907	0.353331
0.3	0.77831	0.38731	0.311041	0.37571	0.34015	0.356299	0.27869	0.4196862	0.4168513	0.336894834	0.305701184	0.35193529	0.389367	0.45501	0.50809	0.400736
0.5	0.549611	0.54319	0.551624	0.56039	0.43661	0.512996	0.49745	0.4922286	0.4841355	0.494357204	0.456693596	0.51318097	0.572029	0.67913	0.63175	0.531693
0.7	0.619543	0.79167	0.714763	0.53563	0.68029	0.682373	0.62001	0.6020228	0.5799396	0.581216613	0.539141371	0.62674212	0.646762	0.71297	0.69796	0.642069
1	0.343924	0.76637	0.440864	0.61164	0.58056	0.626958	0.47159	0.6174098	0.6174296	0.591941685	0.500184075	0.65092782	0.677043	0.67309	0.67165	0.589439
2	0.131993	0.57779	0.442988	0.53178	0.45467	0.402215	0.36348	0.4303314	0.3412776	0.419534875	0.372529588	0.48133718	0.533303	0.54866	0.50391	0.43572
3	0.087378	0.51456	0.399456	0.47845	0.47492	0.364763	0.3725	0.3651665	0.3445953	0.37129542	0.264437153	0.37421932	0.470419	0.45532	0.43508	0.384837
5	0.037784	0.12501	0.152206	0.11477	0.15036	0.119189	0.1071	0.1203579	0.0895856	0.100328831	0.064019674	0.10564261	0.144197	0.12233	0.14023	0.112875
7	0.01859	0.03681	0.087621	0.04549	0.05239	0.043678	0.04289	0.0418413	0.0354188	0.036902517	0.026560441	0.03922406	0.048428	0.04547	0.0484	0.043314
PGA	0.390612	0.30679	0.21827	0.26978	0.23749	0.284573	0.23897	0.3279437	0.3387745	0.287028845	0.261440399	0.22302483	0.321526	0.27188	0.33743	0.287703

Periode (Sec)	Time History Nonlinear G02 (g)															Average (g)	perc. Bat. Dasar (g)	
	Chi01	Chi03	Chi04	Honsu01	Honsu03	Honsu05	Kobe01	Kobe03	Kobe05	Kumamoto01	Kumamoto02	Kumamoto03	Miyagi02	Miyagi04	Miyagi05		0.01	0.5050513
0.01	0.094786	0.0948	0.1058	0.102761	0.1095	0.10979	0.09933	0.09633	0.10188	0.08408516	0.08907278	0.10116714	0.114837	0.10045	0.09503	0.099977	0.02	0.5194127
0.02	0.094477	0.0946	0.105	0.103009	0.11	0.11004	0.09992	0.09654	0.10192	0.08415341	0.08935371	0.10108245	0.115401	0.10058	0.09517	0.100084	0.03	0.5776365
0.03	0.094449	0.0949	0.1051	0.103382	0.1097	0.11008	0.10034	0.0965	0.10204	0.08436195	0.08947822	0.10162718	0.115875	0.1011	0.09535	0.10028	0.05	0.7246551
0.05	0.095172	0.0973	0.1072	0.105143	0.1107	0.11092	0.10113	0.09945	0.10266	0.08440148	0.08966956	0.10467159	0.116705	0.10195	0.09705	0.101606	0.075	0.9021031
0.07	0.096746	0.1007	0.1161	0.109954	0.1153	0.11805	0.10505	0.10213	0.10509	0.08703651	0.09144264	0.10449675	0.120345	0.10991	0.1031	0.105695	0.1	1.0132053
0.1	0.107811	0.1069	0.1086	0.126728	0.1258	0.11407	0.11044	0.10889	0.113	0.09572143	0.10150222	0.11662966	0.125574	0.1285	0.10525	0.113027	0.15	1.1578101
0.2	0.1817	0.1599	0.1405	0.1433	0.1491	0.18686	0.141	0.13075	0.15324	0.14286595	0.09554267	0.15894854	0.159369	0.16749	0.14109	0.150109	0.2	1.1559083
0.3	0.105139	0.1062	0.1153	0.109942	0.1258	0.1206	0.11051	0.10159	0.10903	0.08776481	0.09646199	0.10785083	0.121697	0.10235	0.09879	0.10793	0.25	1.0906878
0.5	0.089894	0.101	0.1058	0.110472	0.1206	0.1162	0.11112	0.09204	0.10773	0.08794089	0.08531461	0.11059108	0.116928	0.1019	0.10028	0.103851	0.3	1.0131845
0.7	0.125761	0.1299	0.138	0.123955	0.1167	0.12853	0.12532	0.11825	0.13758	0.11185091	0.09050426	0.13183069	0.13836	0.12999	0.13526	0.125452	0.4	0.8636912
1	0.230209	0.2044	0.2267	0.249703	0.2511	0.24241	0.2554	0.26656	0.24322	0.17321047	0.14443767	0.30272512	0.213234	0.20316	0.31471	0.23475	0.5	0.74796
2	0.192086	0.28	0.2938	0.259879	0.2901	0.31473	0.25494	0.23396	0.23829	0.21844946	0.22300366	0.23576676	0.297543	0.27771	0.26835	0.258573	0.75	0.5530746
3	0.227178	0.2166	0.22	0.244577	0.2677	0.20653	0.23695	0.21654	0.2457	0.19862579	0.18840057	0.18786103	0.26318	0.23377	0.22425	0.225187	1	0.4359406
5	0.14429	0.1927	0.1736	0.212922	0.1829	0.18809	0.17179	0.20179	0.14216	0.14140852	0.07321034	0.11740109	0.213177	0.18888	0.16953	0.16759	1.5	0.2908156
7	0.054502	0.0572	0.1253	0.060595	0.0584	0.06201	0.06208	0.06255	0.04955	0.05110944	0.03403008	0.04387421	0.080773	0.06337	0.05155	0.061124	2	0.2116821
PGA	0.094388	0.0946	0.1048	0.102715	0.1094	0.10959	0.09926	0.0962	0.10188	0.08405111	0.08903374	0.10104031	0.114726	0.10032	0.09491	0.099795	3	0.1410936
																	4	0.1021273
																	5	0.078695
																	7.5	0.0424566
																	10	0.0267664

Periode (Sec)	Time History Ekuivalen Linear G02 (g)															Average (g)
	Chi01	Chi03	Chi04	Honsu 01	Honsu03	Honsu05	Kobe01	Kobe 03	Kobe 05	Kumamoto01	Kumamoto02	Kumamoto03	Miyagi02	Miyagi04	Miyagi05	
0.01	0.29348	0.226293	0.15054	0.212381	0.23138	0.23785	0.21153	0.25261	0.26245	0.24013932	0.227773846	0.20233993	0.26122	0.214296	0.243716	0.2312005
0.02	0.29365	0.226379	0.15064	0.21254	0.23151	0.23795	0.21167	0.25282	0.26259	0.24028556	0.227932039	0.20241783	0.26139	0.214379	0.243869	0.2313347
0.03	0.29399	0.226483	0.15077	0.212783	0.23171	0.23809	0.21194	0.25313	0.26286	0.24048946	0.228157753	0.202530339	0.26162	0.214469	0.244076	0.2315405
0.05	0.29497	0.226887	0.15123	0.213392	0.23231	0.23848	0.21264	0.25428	0.26351	0.24113877	0.228885823	0.202910019	0.26235	0.214791	0.24484	0.2321747
0.07	0.2967	0.227635	0.15206	0.214664	0.23335	0.23935	0.21409	0.25621	0.26493	0.24221393	0.230174028	0.203563214	0.26383	0.215523	0.246347	0.2333762
0.1	0.30097	0.229259	0.15368	0.218148	0.23583	0.24119	0.21744	0.26113	0.26817	0.2447238	0.233299998	0.204846069	0.26692	0.216945	0.249621	0.2361449
0.2	0.30943	0.242145	0.17657	0.231767	0.25681	0.23673	0.22517	0.2959	0.30508	0.25969919	0.258419039	0.23307299	0.29132	0.215768	0.277502	0.2543585
0.3	0.40398	0.269961	0.22462	0.323719	0.31053	0.29251	0.27329	0.3263	0.34212	0.28224403	0.264410762	0.307898892	0.31525	0.304813	0.355087	0.3064491
0.5	0.45945	0.408441	0.38847	0.437956	0.41383	0.3727	0.48382	0.42556	0.40087	0.3956128	0.367489701	0.39275451	0.42667	0.439979	0.450323	0.4175945
0.7	0.77602	0.560936	0.52005	0.486169	0.63569	0.59777	0.67058	0.58094	0.48222	0.46628707	0.444899694	0.494325588	0.52646	0.502531	0.56496	0.5539889
1	0.50485	0.593271	0.46083	0.52818	0.57702	0.48791	0.5127	0.58676	0.48142	0.47312809	0.402858194	0.524882888	0.62433	0.487222	0.57552	0.5213918
2	0.26423	0.359795	0.27567	0.34458	0.343	0.31046	0.25714	0.30182	0.27159	0.25081534	0.282436711	0.365647634	0.37165	0.285858	0.39383	0.3119006
3	0.26607	0.27003	0.32247	0.271674	0.32508	0.28468	0.28809	0.27777	0.23133	0.27069318	0.19009529	0.254865882	0.3399	0.27299	0.294851	0.2773722
5	0.13392	0.234434	0.28681	0.21196	0.21281	0.20602	0.16627	0.17276	0.15032	0.14186197	0.082904554	0.142718988	0.24347	0.227978	0.213997	0.1885504
7	0.04671	0.052102	0.12138	0.055578	0.06125	0.05525	0.05167	0.05409	0.04344	0.04476753	0.035743463	0.040302061	0.06762	0.055573	0.060395	0.0563913
PGA	0.29342	0.22626	0.15051	0.212337	0.23135	0.23781	0.21136	0.25236	0.26221	0.24001527	0.227647323	0.202306278	0.26108	0.214252	0.243674	0.2311059

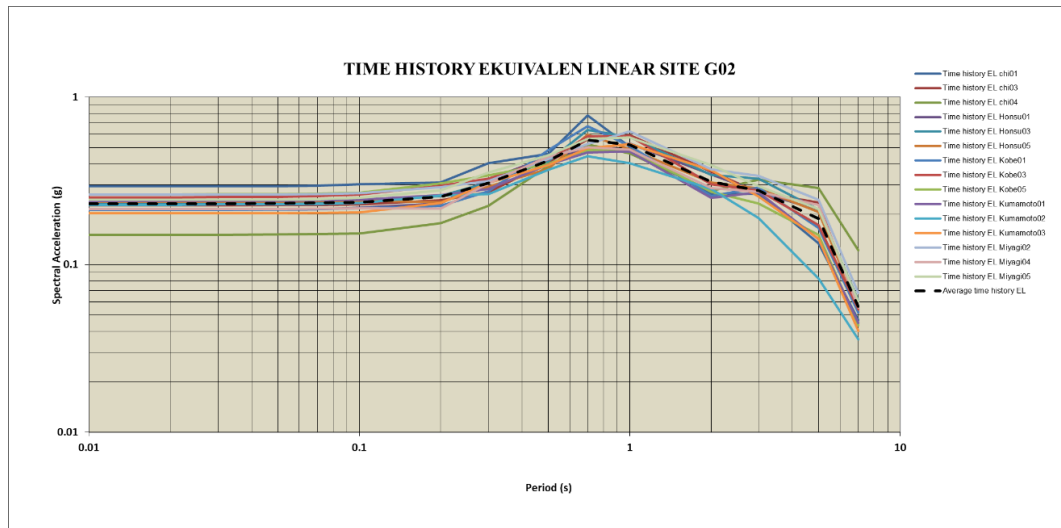
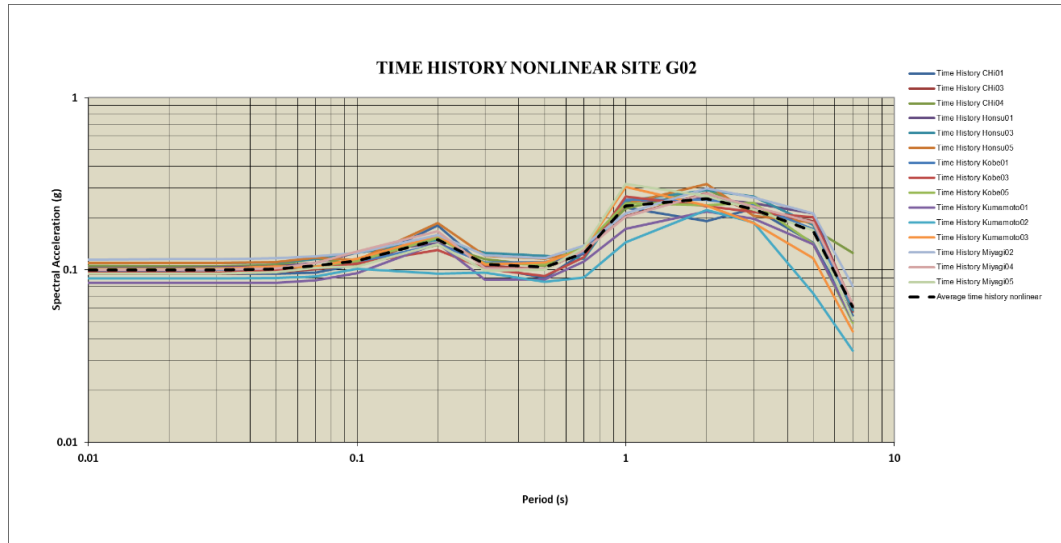
Periode (Sec)	Time History Nonlinear G03 (g)															Average (g)	perc. Batuan dasar (g)	
	Chi01	Chi03	Chi04	Honsu01	Honsu03	Honsu05	Kobe01	Kobe03	Kobe05	Kumamoto01	Kumamoto02	Kumamoto03	Miyagi02	Miyagi04	Miyagi05		0.01	0.5050513
0.01	0.09102	0.10371	0.10233	0.09921	0.0942	0.1002	0.09239	0.08708	0.09883	0.082160083	0.083090047	0.09090183	0.10892	0.10265	0.0979	0.09564	0.02	0.5194127
0.02	0.09145	0.10721	0.10371	0.10196	0.0957	0.10247	0.09268	0.08939	0.09906	0.082496874	0.086974557	0.09131251	0.11061	0.1035	0.09837	0.097127	0.03	0.5776365
0.03	0.09528	0.12792	0.10568	0.10546	0.10433	0.10366	0.09464	0.09094	0.10303	0.083205117	0.093357474	0.09244523	0.11127	0.10291	0.10024	0.100958	0.05	0.7246551
0.05	0.09213	0.11384	0.10529	0.10797	0.11346	0.10252	0.0928	0.09509	0.09908	0.082541609	0.08964234	0.09434102	0.11542	0.10483	0.10177	0.100716	0.075	0.9021031
0.07	0.09202	0.10805	0.1012	0.1	0.10976	0.09981	0.09159	0.08822	0.10405	0.082430778	0.083656802	0.09166967	0.1108	0.1031	0.10944	0.098385	0.1	1.0132053
0.1	0.09309	0.11117	0.10468	0.10383	0.09465	0.10231	0.09583	0.09834	0.11352	0.084460268	0.086154992	0.09029689	0.10771	0.11139	0.10288	0.100021	0.15	1.1578101
0.2	0.09584	0.11649	0.10458	0.1059	0.10178	0.09929	0.09978	0.09057	0.10769	0.094962767	0.084486747	0.0917343	0.11556	0.10881	0.09907	0.101103	0.2	1.1559083
0.3	0.11159	0.11076	0.12145	0.13194	0.10731	0.11011	0.11973	0.11218	0.12487	0.111835599	0.109114218	0.09992736	0.11668	0.12602	0.13533	0.116589	0.25	1.0906878
0.5	0.09408	0.10124	0.11875	0.10441	0.11643	0.12095	0.10976	0.10977	0.10133	0.084195635	0.095373964	0.10115996	0.11914	0.11027	0.10054	0.105827	0.3	1.0131845
0.7	0.1991	0.13923	0.18862	0.16376	0.21887	0.15626	0.14664	0.17861	0.1488	0.103744199	0.105994434	0.12851934	0.13713	0.17037	0.17718	0.157522	0.4	0.8636912
1	0.26444	0.18436	0.19134	0.1568	0.17507	0.21717	0.18646	0.23069	0.1916	0.149278992	0.115056434	0.24161037	0.19666	0.20362	0.24512	0.196618	0.5	0.74796
2	0.2242	0.27302	0.28947	0.22328	0.2817	0.28356	0.24957	0.23313	0.26041	0.237147961	0.207525434	0.23541091	0.27217	0.27906	0.25434	0.2536	0.75	0.5530746
3	0.23827	0.2293	0.24326	0.25603	0.28118	0.2256	0.26017	0.24755	0.26677	0.233040761	0.185734306	0.2021306	0.28193	0.25494	0.25052	0.243761	1	0.4359406
5	0.14734	0.22065	0.22223	0.23239	0.15967	0.19075	0.16888	0.20858	0.15097	0.158988651	0.078323125	0.12142311	0.20748	0.21126	0.19262	0.178104	1.5	0.2908156
7	0.05225	0.06165	0.13568	0.06989	0.06192	0.06488	0.05473	0.06927	0.05	0.057625717	0.037293387	0.04878422	0.07737	0.06909	0.06074	0.064744	2	0.2116821
PGA	0.09043	0.10305	0.10214	0.09794	0.09381	0.10008	0.09209	0.08608	0.09857	0.082032615	0.082617425	0.0905596	0.10803	0.10243	0.09762	0.095165	3	0.1410936
																	4	0.1021273
																	5	0.078695
																	7.5	0.0424566
																	10	0.0267664

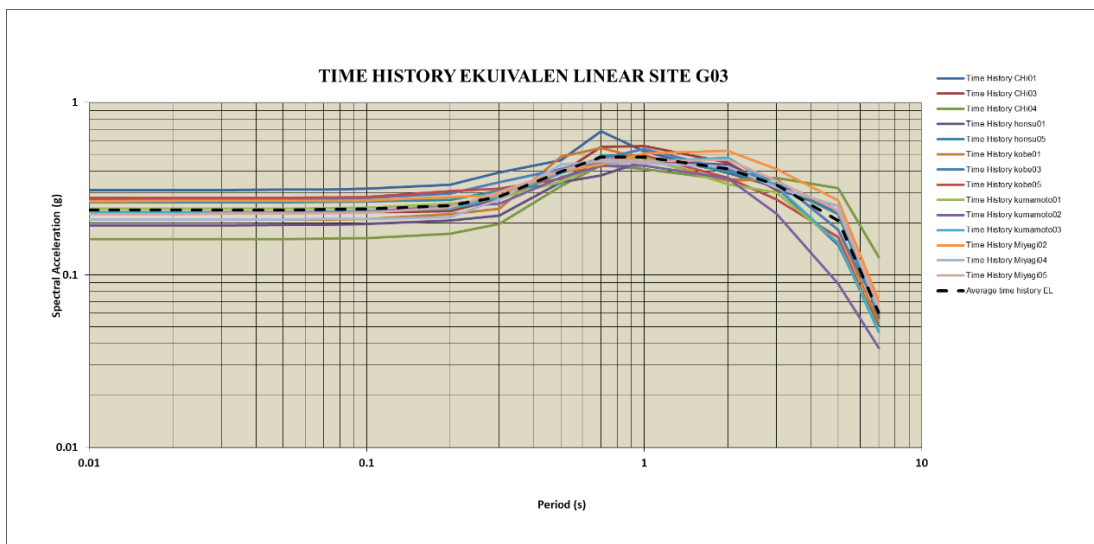
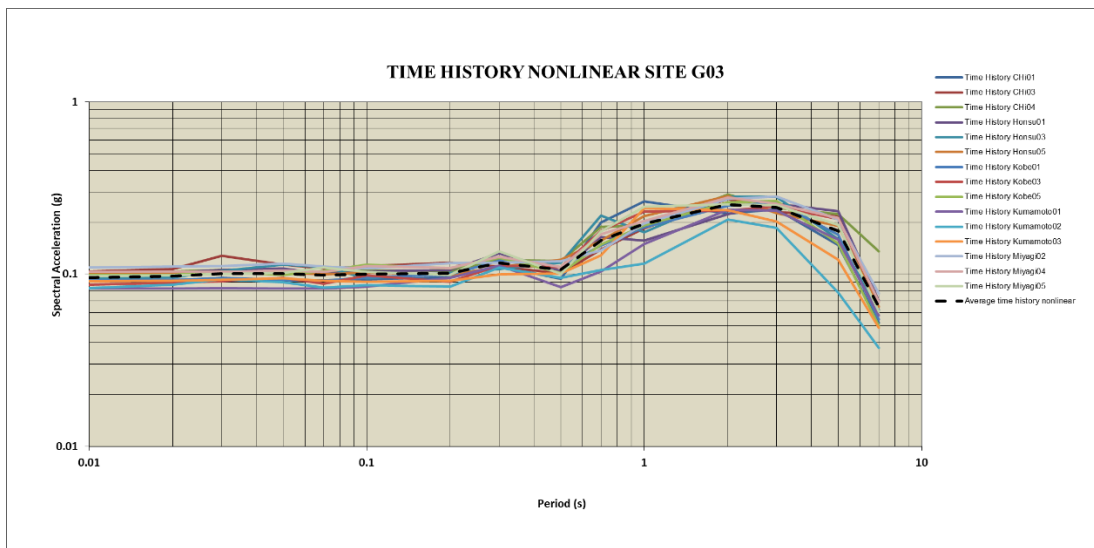
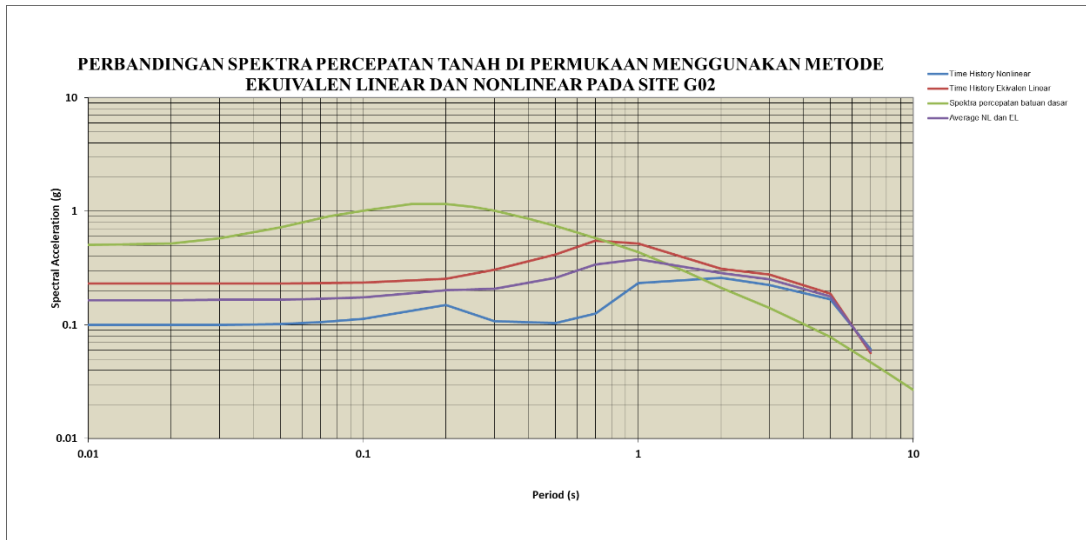
Periode (Sec)	Time History Ekuivalen Linear G03 (g)															Average (g)
	Chi01	Chi03	Chi04	Honsu 01	Honsu03	Honsu05	Kobe01	Kobe 03	Kobe 05	Kumamoto01	Kumamoto02	Kumamoto03	Miyagi02	Miyagi04	Miyagi05	
0.01	0.31074	0.22844	0.161295	0.194	0.23725	0.26369	0.20936	0.27411	0.27901	0.241791312	0.23081182	0.23011324	0.26812	0.20976	0.22605	0.2376349
0.02	0.31093	0.22851	0.161352	0.1941	0.23737	0.26377	0.20943	0.27424	0.27911	0.241923174	0.23092806	0.23018225	0.26819	0.2098	0.22616	0.2377319
0.03	0.3112	0.22861	0.161431	0.19424	0.23752	0.2639	0.20951	0.27449	0.27935	0.242102879	0.23107886	0.23027522	0.26828	0.20987	0.22635	0.2378798
0.05	0.31208	0.22894	0.161712	0.19475	0.23799	0.26424	0.20975	0.2751	0.27995	0.242709126	0.2316308	0.23059189	0.26857	0.21011	0.22684	0.2383301
0.07	0.31365	0.22953	0.162235	0.19555	0.23903	0.26503	0.21022	0.27655	0.28104	0.243686226	0.23252278	0.23114249	0.26913	0.21051	0.2279	0.2391807
0.1	0.31715	0.23087	0.163354	0.19752	0.24107	0.26664	0.21132	0.27953	0.28338	0.245999051	0.23471502	0.23226501	0.2703	0.21137	0.23022	0.2410474
0.2	0.33455	0.23494	0.173493	0.20745	0.25304	0.27171	0.22536	0.29608	0.3064	0.258211601	0.25086817	0.24151085	0.28283	0.21738	0.24772	0.2534365
0.3	0.39403	0.27665	0.197273	0.22067	0.28598	0.30866	0.2425	0.34541	0.31606	0.281121008	0.25871284	0.28417765	0.28844	0.27428	0.3031	0.2851383
0.5	0.46367	0.39084	0.326631	0.34489	0.48453	0.34047	0.48352	0.4109	0.36185	0.346868918	0.36842914	0.38971185	0.40047	0.43802	0.40411	0.3969933
0.7	0.68198	0.55095	0.434355	0.37925	0.58112	0.49427	0.54521	0.47129	0.4592	0.438446695	0.42781513	0.44469036	0.4359	0.45808	0.46865	0.4847477
1	0.52094	0.5596	0.411319	0.45758	0.5536	0.488	0.47162	0.5375	0.4948	0.482019596	0.43131506	0.454049	0.50668	0.44505	0.45843	0.4848336
2	0.39121	0.44743	0.35687	0.43574	0.45823	0.39938	0.35279	0.40985	0.36623	0.335072717	0.36372529	0.47755788	0.52396	0.42626	0.46519	0.4139657
3	0.32372	0.31107	0.365172	0.31612	0.39829	0.33513	0.36053	0.35558	0.27406	0.301127396	0.22621906	0.32660132	0.4112	0.32134	0.35101	0.3318125
5	0.14906	0.25253	0.318975	0.23641	0.22175	0.22492	0.18312	0.18311	0.16561	0.154203816	0.08921123	0.15349777	0.2706	0.25259	0.23633	0.2061286
7	0.05064	0.05621	0.126536	0.06079	0.06446	0.05805	0.05311	0.0623	0.04768	0.047691269	0.03772698	0.04646491	0.07089	0.06128	0.0653	0.0606078
PGA	0.31069	0.22842	0.161272	0.19397	0.23716	0.26367	0.20935	0.27408	0.27899	0.241600704	0.23064462	0.23010555	0.26805	0.20975	0.22597	0.2375826

Periode (Sec)	Time History Nonlinear G04 (g)															Average (g)	perc. Batuan dasar (g)	
	Chi01	Chi03	Chi04	Honsu 01	Honsu03	Honsu05	Kobe01	Kobe 03	Kobe 05	Kumamoto01	Kumamoto02	Kumamoto03	Miyagi02	Miyagi04	Miyagi05		0.01	0.5050513
0.01	0.2172	0.2034	0.244	0.2159	0.23127	0.20022	0.2292	0.2067	0.2069	0.199844306	0.200781773	0.20078177	0.224594	0.22663	0.19679	0.2136177	0.02	0.5194127
0.02	0.2188	0.2042	0.2452	0.216	0.23564	0.202	0.2303	0.208	0.2073	0.200333732	0.201414726	0.20141473	0.224923	0.22717	0.19914	0.214783	0.03	0.5776365
0.03	0.2186	0.2037	0.2442	0.2163	0.23174	0.20017	0.23	0.2072	0.2071	0.199718897	0.200818273	0.20081827	0.227043	0.22717	0.19718	0.2141163	0.05	0.7246551
0.05	0.2387	0.2111	0.2468	0.2159	0.23692	0.20675	0.2301	0.2157	0.2084	0.202745046	0.222084983	0.22208498	0.241682	0.22866	0.19734	0.2216648	0.075	0.9021031
0.07	0.2425	0.2569	0.2497	0.2231	0.24003	0.21114	0.2311	0.2156	0.2096	0.199825139	0.235408302	0.2354083	0.245096	0.22987	0.20236	0.2285037	0.1	1.0132053
0.1	0.2666	0.3037	0.2644	0.2188	0.26991	0.21304	0.2444	0.2309	0.2159	0.200123374	0.255599441	0.25559944	0.277411	0.24581	0.20303	0.2443529	0.15	1.1578101
0.2	0.2949	0.2283	0.2793	0.2279	0.2808	0.20397	0.2542	0.234	0.2101	0.207828863	0.233643679	0.23364368	0.24717	0.26232	0.22565	0.2415904	0.2	1.1559083
0.3	0.4923	0.2804	0.6595	0.3198	0.45029	0.38912	0.4999	0.346	0.2797	0.258454373	0.305397375	0.30539738	0.391079	0.45979	0.33016	0.3844864	0.25	1.0906878
0.5	0.3986	0.3276	0.5635	0.3493	0.31914	0.2931	0.3391	0.3203	0.2944	0.293064243	0.323259357	0.32325936	0.337934	0.3837	0.33971	0.3470641	0.3	1.0131845
0.7	0.718	0.6269	0.6426	0.3904	0.58116	0.53908	0.5459	0.5436	0.4144	0.384322649	0.381615806	0.38161581	0.437899	0.50895	0.59411	0.5127066	0.4	0.8636912
1	0.6271	0.4991	0.5141	0.4868	0.72857	0.61043	0.6114	0.654	0.5851	0.553227298	0.623414567	0.62341457	0.67294	0.45428	0.60444	0.589885	0.5	0.74796
2	0.6644	0.7181	0.7052	0.681	0.62442	0.59469	0.3383	0.6987	0.4702	0.492996922	0.725148446	0.72514845	0.788462	0.72738	0.71716	0.6447479	0.75	0.5530746
3	0.2004	0.3051	0.2953	0.3128	0.30711	0.28216	0.2627	0.2477	0.1829	0.182867064	0.330239328	0.33023933	0.397686	0.28313	0.38683	0.2871463	1	0.4359406
5	0.0802	0.1023	0.11	0.0856	0.09664	0.08827	0.0629	0.0728	0.0561	0.062703026	0.097203968	0.09720397	0.136782	0.09597	0.10876	0.0902267	1.5	0.2908156
7	0.0294	0.0345	0.071	0.0305	0.03557	0.03811	0.0343	0.0319	0.0299	0.019041095	0.035931332	0.03593133	0.044821	0.03704	0.04561	0.0369061	2	0.2116821
PGA	0.2169	0.2033	0.2438	0.2159	0.23113	0.20002	0.229	0.2064	0.2068	0.199360114	0.200699995	0.20069999	0.223313	0.22643	0.19641	0.2133403	3	0.1410936
																	4	0.1021273
																	5	0.078695
																	7.5	0.0424566
																	10	0.0267664

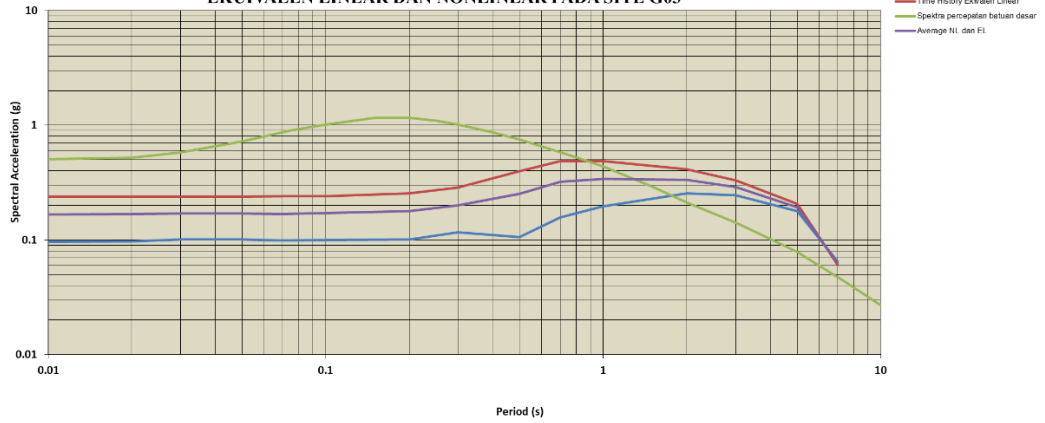
Periode (Sec)	Time History Ekuivalen Linear G04 (g)															Average (g)
	Chi01	Chi03	Chi04	Honsu 01	Honsu03	Honsu05	Kobe01	Kobe 03	Kobe 05	Kumamoto01	Kumamoto02	Kumamoto03	Miyagi02	Miyagi04	Miyagi05	
0.01	0.5726	0.41512	0.3728	0.54255	0.388614	0.41057	0.50443	0.4422	0.497194	0.49366341	0.365713711	0.365713711	0.525319	0.414074	0.54539	0.457062
0.02	0.57354	0.41561	0.37391	0.54384	0.389382	0.41104	0.50522	0.4433	0.497597	0.49465418	0.366927815	0.366927815	0.526181	0.414538	0.54631	0.457933
0.03	0.57484	0.41629	0.37557	0.5456	0.390522	0.41168	0.50582	0.445	0.498202	0.49610005	0.368773221	0.368773221	0.527458	0.415182	0.54742	0.459147
0.05	0.57895	0.41874	0.3818	0.55071	0.394209	0.41403	0.50939	0.4498	0.49981	0.50111505	0.37548242	0.37548242	0.531847	0.41743	0.55167	0.463364
0.07	0.58503	0.42416	0.4013	0.56072	0.400357	0.41968	0.5163	0.4664	0.502318	0.51224607	0.396746535	0.396746535	0.540503	0.424196	0.56253	0.473947
0.1	0.63186	0.44655	0.42496	0.60884	0.441923	0.43556	0.52937	0.5298	0.526612	0.52897998	0.486566732	0.486566732	0.565321	0.492054	0.58289	0.514526
0.2	0.85217	0.63584	0.80251	0.81263	0.79992	0.65763	0.68661	0.7615	0.792479	0.69945112	0.734607511	0.734607511	0.705581	0.656965	0.70708	0.735969
0.3	0.82199	0.85606	0.85524	0.84564	0.990088	0.91989	0.82322	0.9826	0.741531	0.80510235	0.708745933	0.708745933	0.817405	0.965841	1.00355	0.856377
0.5	0.93107	0.60783	0.89981	1.12031	0.883535	0.85319	0.88445	0.8289	0.824594	0.85893165	0.875713825	0.875713825	1.036752	0.995895	1.03854	0.901019
0.7	1.59194	0.88169	1.09562	0.93919	0.900407	0.97889	1.11126	1.1569	0.839198	0.93403475	1.060348876	1.060348876	1.000559	1.018781	1.09476	1.044259
1	1.20769	0.96275	0.70387	0.82941	0.910719	0.83142	0.87149	0.9322	0.891187	0.84028207	0.82049512	0.82049512	1.095254	0.890721	1.05506	0.910868
2	0.64536	0.8353	0.7355	0.82873	0.716819	0.57513	0.71124	0.7822	0.543981	0.56255547	0.784656208	0.784656208	0.958373	0.887514	0.83354	0.745705
3	0.18069	0.27511	0.24576	0.3174	0.293063	0.23045	0.28362	0.25	0.159844	0.21257606	0.317958702	0.317958702	0.350689	0.273749	0.32065	0.268636
5	0.06838	0.10125	0.10474	0.08726	0.09247	0.07672	0.06382	0.0738	0.062545	0.06698742	0.092379071	0.092379071	0.119772	0.090865	0.09999	0.086222
7	0.03049	0.02963	0.07031	0.03051	0.031572	0.03023	0.03489	0.0317	0.025547	0.02063943	0.030738825	0.030738825	0.044072	0.031833	0.04043	0.034226
PGA	0.57237	0.415	0.37241	0.54222	0.387388	0.41019	0.50403	0.4419	0.496844	0.49249747	0.364793888	0.364793888	0.524801	0.41347	0.54478	0.456496

Lampiran 4. Kurva *time history* ekuivalen linear dan nonlinear masing-masing *site*

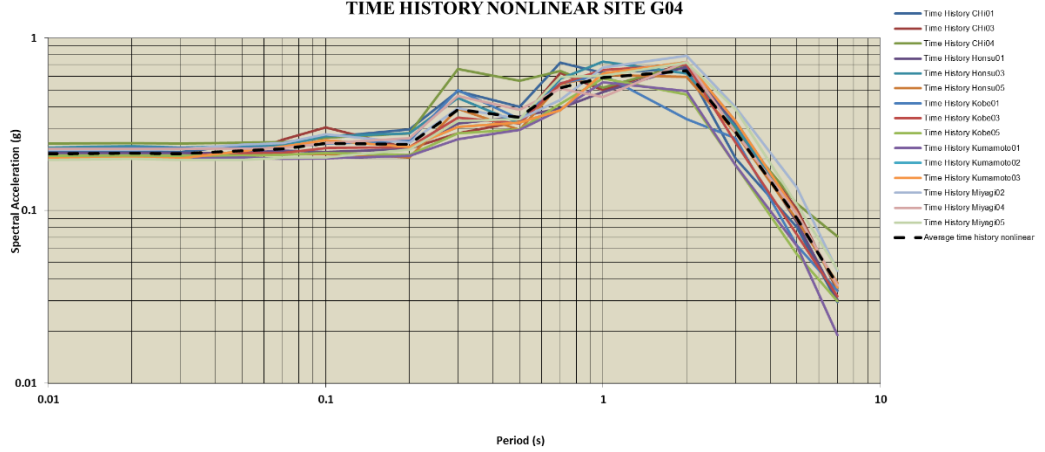




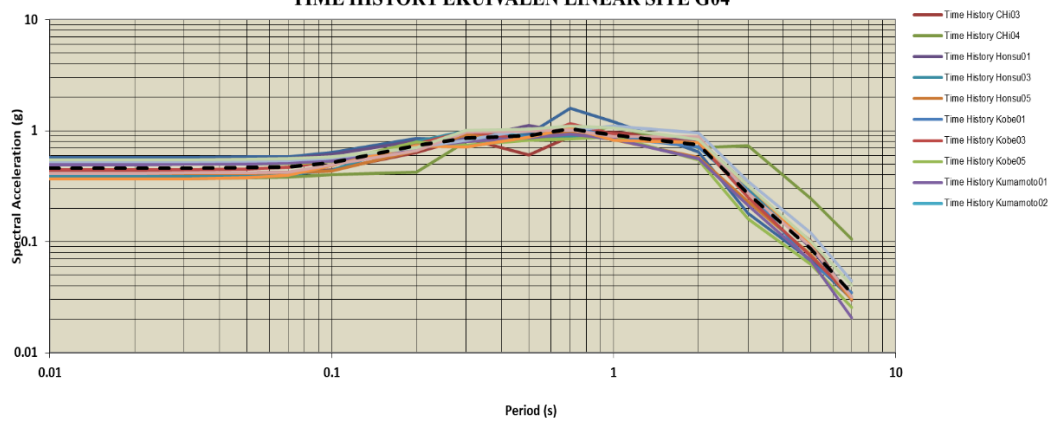
PERBANDINGAN SPEKTRA PERCEPATAN TANAH DI PERMUKAAN MENGGUNAKAN METODE EKVIVALEN LINEAR DAN NONLINEAR PADA SITE G03



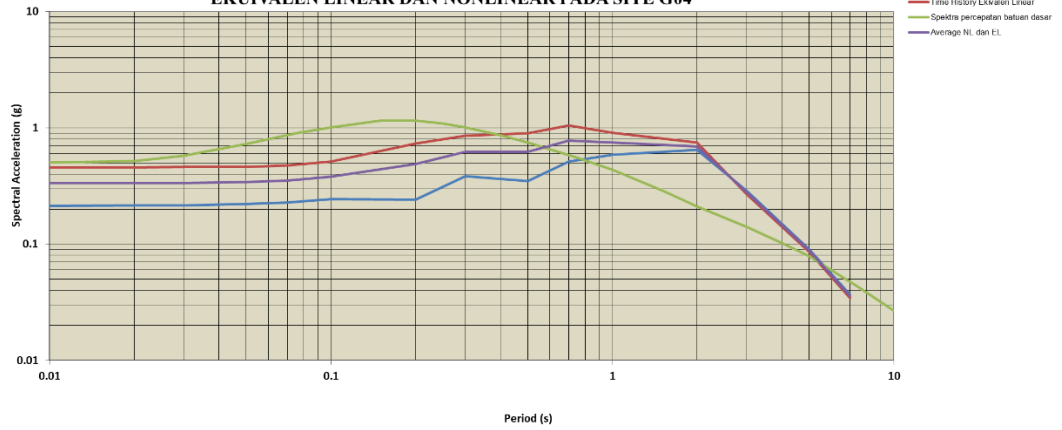
TIME HISTORY NONLINEAR SITE G04



TIME HISTORY EKVIVALEN LINEAR SITE G04



PERBANDINGAN SPEKTRA PERCEPATAN TANAH DI PERMUKAAN MENGGUNAKAN METODE EKVIVALEN LINEAR DAN NONLINEAR PADA SITE G04



Lampiran 5. Profil PGA dan PGD masing-masing site

